

الگوریتم ترکیبی فراابتکاری برای طراحی بهینه‌های سازه‌های اسکلت فلزی

وحید رضا کلاات جاری (دانشجو)

محمد حسین طالب پور^{*} (استاد باری)

دانشکده مهندسی عمران، دانشگاه صنعتی شاهروود

مهمنسی عمران شریف، (ایران) (۱۳۹۷/۰۵/۰۲ - ۰۴/۰۶/۰۲). دریی ۲ - ۳، شماره ۲/۱. ص.

در نوشتار حاضر، با الهام از شیوه‌ی جستجوی الگوریتم‌های فراابتکاری مختلف از قبیل GA، CSS، PSO و HS الگوریتم ترکیبی نوینی پیشنهاد شده است. در الگوریتم مذکور هر طرح در فضای طراحی به عنوان یک نقطه در فضای کاوش لحاظ می‌شود. مجموعه‌ی نقاط در کنار یکدیگر، جمعیت را تشکیل می‌دهند. براساس روش پیشنهادی، هر نقطه از جمعیت با حرکت به سوی نقاط منتخب جمعیت حاضر، مرکز هندسی نقاط منتخب و نیز مرکز هندسی کلیه‌ی نقاط جمعیت حاضر در موقعیت جدید قرار می‌گیرند. در حرکت هر نقطه، میزان جایه‌جایی گذشته نیز به عنوان عاملی مستقل در نظر گرفته می‌شود. بدین ترتیب براساس شیوه‌ی حرکت نقاط در الگوریتم پیشنهادی و نیز اهداف حرکت هر نقطه، موقعیت مناسب‌تر در فضای کاوش برای نقاط متحرک کسب می‌شود. با حرکت کلیه‌ی نقاط، جمعیت جدید که نقاط شاخصه‌تری نسبت به جمعیت گذشته دارد، شکل می‌گیرد. برای ارزیابی کارایی الگوریتم پیشنهادی از مثال‌های رایج سازه‌های اسکلتی استفاده شده است. نتایج حاکی از کارایی مناسب روش پیشنهادی در نیل به نقطه‌ی بهینه است.

واژگان کلیدی: بهینه‌یابی، سازه‌های اسکلتی، الگوریتم‌های فراابتکاری، الگوریتم ترکیبی.

v.kalatjari@gmail.com
m.h.talebpour@du.ac.ir

۱. مقدمه

تصادفی است که از تئوری احتمالات و نیز پدیده‌های طبیعی بهره می‌گیرد. روش‌های مذکور در ادبیات بهینه‌یابی با عنوان روش‌های فراابتکاری معرفی می‌شوند. در چند دهه‌ی اخیر، روش‌های فراابتکاری به طور چشم‌گیری توسعه یافته‌اند. بیشتر روش‌های فراابتکاری، بر پایه‌ی الهام از فرایندهای طبیعی شکل می‌گیرند و کل فضای طراحی را به صورت نقطه به نقطه بررسی می‌کنند و می‌توانند بدون هرگونه محدودیت در نوع متغیرهای طراحی، فضای طراحی یا قیود، فرایند جستجو را انجام دهند. این خواص سبب شده است تا روش‌های فراابتکاری جایگاه ویژی در حل مسائل بهینه‌یابی یابند.^[۱]

ایده‌ی اصلی روش‌های فراابتکاری نخستین بار در سال ۱۹۶۶ با الگوریتم راهبردی تکاملی مطرح شد.^[۲] سپس در سال ۱۹۷۵ در دانشگاه میشیگان، نظریه‌ی بهینه‌یابی مبتنی بر الگوریتم زتیک بر پایه‌ی ساختار زن‌ها و کروموزوم‌ها مطرح شد.^[۳] سال‌های بعد نظریه‌ی مذکور توسط برخی دیگر از پژوهشگران توسعه یافت و در سال ۱۹۸۹ الگوریتم زتیک فعلی ارائه شد.^[۴] در سال ۱۹۸۳، براساس الگوریتم محاسباتی متropolیس،^[۵] که بر پایه‌ی نظریه‌ی سرد شدن تدریجی استوار بود، یک روش بهینه‌یابی با نام شبیه‌سازی بازیخت ارائه شد.^[۶] سپس در سال ۱۹۸۶، روش بهینه‌یابی با نام شبیه‌سازی بازیخت ارائه شد.^[۷] همچنین در سال ۱۹۹۱، روش بهینه‌یابی بر پایه‌ی زندگی دسته‌جمعی مورچگان ارائه شد.^[۸] در سال ۱۹۹۵، نیز با

امروزه دنیای علم با سرعت شگرفی رو به پیشرفت است و در این مسیر، ابداعات و اكتشاف‌ها نقش بسیار مهمی را ایفا می‌کنند، اما همواره تلاش‌های علمی بر پایه‌ی استفاده‌ی بهینه از امکانات پر ریزی شده است. این مسئله سبب بروز فرایند بهینه‌یابی در بیشتر علوم و فعالیت‌های علمی بشر شده است. کمبود فضا و امکانات، کمبود منابع انرژی، محدودیت‌های مصالح و مواد خام، سیستمی اقتصاد در علوم مختلف و نیز ذات تکامل‌گرایی انسان سبب افزایش اهمیت و تخصیص جایگاه ویژه‌ی علم بهینه‌یابی در علوم مختلف شده است. فرایند بهینه‌یابی در هر علمی باید منجر به بهترین طرح به ازاء محدودیت‌های موجود شود. در این راستا، عواملی از قبیل: تعداد متغیرهای طراحی، بزرگی فضای جستجو و قیود کنترل کننده‌ی طرح از جمله عوامل بازدارنده برای نیل به نقطه‌ی بهینه در محدوده‌ی زمانی قابل قبول هستند. این مسئله سبب شده است تا پژوهشگران مختلف، روش‌های گوناگونی را برای فرایند بهینه‌یابی ارائه دهند. بدین منظور دو دسته‌ی کلی و رایج برای طراحی بهینه وجود دارد: دسته‌ی اول، براساس روش‌های قطعی و یا به تعبیر صحیح تر روش‌های ریاضی است که با نام روش‌های کلامیک شناخته می‌شود؛ دسته‌ی دوم، براساس روش‌های هوشمند

* نویسنده مسئول

تاریخ: دریافت ۱۳۹۵/۴/۵، اصلاحیه ۱۴ ۱۳۹۵/۷/۱۴، پذیرش ۱۳۹۵/۷/۳

DOI: 10.24200/J30.2018.1369

۲. بهینه‌یابی براساس الگوریتم ترکیباتی پیشنهادی

۱.۲. مفاهیم پایه

الگوریتم‌های فرالبتکاری، روش‌های هوشمندی هستند که بر پایه‌ی فرایند جست‌وجوی تصادفی و تئوری احتمالات و بالاهم از فرایندهای تکاملی محیط پیرامون در زمینه‌های مختلف شکل گرفته‌اند. در چند دهه‌ی اخیر، استفاده از روش‌های فرالبتکاری به سبب بی‌نیازی به شرط‌های محدود تابع هدف و قید، محاسبه‌های سینگن ریاضی و عوامل دیگر گسترش زیادی یافته است. در این راستا، الگوریتم‌های متعددی با الهم از فرایندهای طبیعی و تکاملی توسعه پژوهشگران مختلف ارائه شده است. الگوریتم ژنتیک، جست‌وجوی ممنوعه (TS)^۷، کلونی مورچگان (ACO)^۸، اجتماع ذرات (PSO) (الگوریتم شبیه‌سازی بازیخت (SA)^۹، جست‌وجوی هارمونی (HS)^{۱۰}) و جست‌وجوی ذرات باردار (CSS) از جمله الگوریتم‌های فرالبتکاری مشهور در علم بهینه‌یابی سازه‌ها هستند. این روش‌ها با تکمیل قوانین طبیعی و احتمالات تصادفی در طبیعت، فرایند جست‌وجو را در پیش گرفته و با تولید طرح‌های ارتقاء یافته‌ی متعدد، فضای طراحی را کاوش می‌کنند. به بیان دیگر، روش‌های فرالبتکاری فضای کاوش را به صورت نقطه به نقطه جست‌وجو می‌کنند و در سیر فرایند بهینه‌یابی با پیروی از منطق الگوریتم به سوی نقطه‌ی بهینه حرکت می‌کنند. منطق هر الگوریتم متفاوت بوده و هر یک با الهم از رفتارهای تکاملی محیط پیرامون شکل گرفته است. اما نکته‌ی حائز اهمیت و مشترک بین تمامی الگوریتم‌های فرالبتکاری، پی‌ریزی فرایند جست‌وجو براساس دو اصل تنوع و تشدید است. به بیان دیگر، هر یک از الگوریتم‌های فرالبتکاری، براساس شیوه‌ی جست‌وجوی منحصر به‌فرد، فضای کاوش را می‌تئی براحتی اصول تنوع و تشدید جست‌وجو می‌کنند. بدین منظور هر الگوریتم باید ضمن جست‌وجوی کل فضای طراحی، همسایگی طرح‌های مستعد را نیز کاوش کند. بنابراین کسب جواب‌های متعدد و طرح‌های مناسب، نیازمند راهکارهایی در راستای جست‌وجوی کل فضای طراحی است. چنین راهکارهایی بر طبق اصول تنوع تعریف و سپس فرایند جست‌وجوی سراسری فضای طراحی در پیش گرفته می‌شود. از سوی دیگر، شیوه‌ی جست‌وجوی هر الگوریتم نیز باید به نحوی باشد که امکان جست‌وجوی اطراف جواب‌های مناسب و شایسته وجود داشته باشد. راهکارهای مذکور در راستای پوشش اصل تشدید، بیان و ارائه می‌شوند و براساس آن‌ها، همسایگی طرح‌های مستعد و مناسب به صورت محلی و موضوعی کاوش می‌شوند.^{۱۱}

نکته‌ی حائز اهمیت در هر الگوریتم فرالبتکاری، ایجاد توازن منطقی و مناسب بین راهکارهای اصول تنوع و تشدید در فرایند بهینه‌یابی است. بدین منظور هر الگوریتم با الهم از فرایندهای تکاملی روندی را برای اجرای عملیات بهینه‌یابی ارائه و با پیشنهاد روابط و راهکارهای مختلف، براساس اصول تنوع و تشدید، فضای طراحی را جستجو می‌کند. این مهم با بررسی الگوریتم‌های فرالبتکاری مختلف، مانند: الگوریتم ژنتیک، الگوریتم جست‌وجوی ممنوعه، الگوریتم شبیه‌سازی بازیخت، الگوریتم اجتماع ذرات، روش جست‌وجوی هارمونی و روش جست‌وجوی ذرات باردار مشاهده شده است.^{۱۲-۱۷}

در نوشتار حاضر، با توجه به تجربیات بررسی الگوریتم‌های مذکور و دقت در شیوه‌ی هر الگوریتم برای ارائه‌ی راهکارهایی در زمینه‌ی اصول تنوع و تشدید،^{۱۰-۱۷} الگوریتم ژنتیکی نوینی ارائه و پیشنهاد شده است. در روش مذکور، فضای کاوش توسعه نقاط متحرک جست‌وجو می‌شود. هر طرح در فضای طراحی بیانگر نقطه‌ی در فضای کاوش است و مجموعه‌ی نقاط، جمعیت را تشکیل می‌دهند. نقاط متحرک با حرکت و جایه‌جایی در فضای کاوش، سبب ایجاد فرایند تکاملی برای

الهام از نظریه‌ی اجتماع پژوهان و ماهی‌ها، روش PSO^۱ ارائه شد.^{۱۰}
همچنین در سال ۲۰۰۱، روش جست‌وجوی هارمونی براساس هماهنگی گروه موسیقی ارائه شد.^{۱۱} در سال ۲۰۰۶ نیز روش بیگ بنگ بیگ مطرح شد.^{۱۲} روش جستجوی ذرات باردار در بهینه‌یابی سازه‌ها هم بر پایه‌ی قوانین فیزیک و قوانین نیوتون در سال ۲۰۱۰ مطرح شد.^{۱۳} روش بهینه‌یابی براساس رفتار پرتو نور در گذر از اجسام مختلف نیز در سال ۲۰۱۲ ارائه شد.^{۱۴} همچنین در سال ۲۰۱۴، روش CBO^۱ با الهم از نظریه‌ی برخورد اجسام در علم دینامیک ارائه شد.^{۱۵} روش بهینه‌یابی ALO^۳ نیز در سال ۲۰۱۵ ارائه شده است.^{۱۶}

در نوشتار حاضر سعی شده است تا الهم از شیوه‌ی جست‌وجوی الگوریتم‌های فرالبتکاری مختلف، به خصوص الگوریتم ژنتیک (GA)^۴، الگوریتم جست‌وجوی هارمونی (HS)^۵، روش جستجوی ذرات باردار (CSS)^۶ روش جست‌وجوی اجتماع ذرات (PSO)، الگوریتم تکیبی نوینی ارائه شود. بدین منظور با بررسی هر یک از الگوریتم‌های فرالبتکاری ذکرشده و نیز دقت در شیوه‌ی جست‌وجوی فضای کاوش توسط هر الگوریتم،^{۲۰-۲۷} روش تکیبی فرالبتکاری جدیدی پیشنهاد شده است که در آن فضای کاوش توسعه یک سری نقاط متحرک جست‌وجو می‌شود. براین اساس در الگوریتم پیشنهادی، هر طرح بیانگر نقطه‌ی در فضای کاوش و مجموعه‌ی نقاط بیانگر یک جمعیت هستند. نقاط در هر تکرار براساس عوامل مربوط به جمعیت حاضر، در فضای طراحی حرکت می‌کنند و بدین ترتیب جمعیت جدید با شایستگی بیشتر نسبت به جمعیت پیشین ارائه می‌شود. مرکز هندسی کلیه‌ی نقاط، مرکز هندسی نقاط منتخب، و موقعیت نقاط منتخب برای جمعیت حاضر از عوامل مؤثر در موقعیت نهایی نقاط برای تشکیل جمعیت بعدی هستند. در این راستا، میانگین میزان کیفیت نقاط جمعیت حاضر و میانگین مقدار کیفیت مجموعه‌ی نقاط منتخب، و نیز میزان کیفیت هر یک از نقاط منتخب در مقدار جایه‌جایی نقاط مؤثر هستند. از دیگر عوامل مؤثر در موقعیت نهایی نقاط برای هر جمعیت، میزان تغییرات حرکت پیشین هر نقطه است. بدین ترتیب مجموعه‌ی نقاط با حرکت در فضای کاوش براساس عوامل مذکور، جمعیتی جدید و شایسته‌تر نسبت به جمعیت پیشین ارائه می‌دهند. این فرایند تا برقراری شرط خاتمه ادامه می‌باید و بدین سان طرح بهینه در فرایند تکاملی حاصل می‌شود.

برای بررسی کارآبی الگوریتم پیشنهادی از مثال‌های بهینه‌یابی سازه‌های اسکلتی با فضاهای طراحی متفاوت استفاده شده است. بدین منظور برای نشان دادن کارآمدی شیوه‌ی بهینه‌یابی براساس الگوریتم پیشنهادی، هر مثال ۴۰ باره به ازاء مقادیر مختلف برای پارامترهای اولیه ارزیابی شده است. سپس میانگین سیر همگرایی ۴۰ اجرای متوالی فرایند بهینه‌یابی با سیر همگرایی بهترین اجرا مقایسه شده است. نتایج حاکی از انطباق تقریبی دو سیر همگرایی مذکور با هم دارد. این مهم دلالت بر ثبات و پایداری الگوریتم در اجرایهای مختلف به ازاء مقادیر گوناگون برای پارامترهای اولیه دارد و بیانگر آن است که روند بهینه‌یابی، سیر تصادفی ندارد و الگوریتم پیشنهادی به صورت هوشمند فضای طراحی را جست‌وجو می‌کند. از دیگر تمهیدات برای بررسی کارآبی الگوریتم پیشنهادی، مقایسه‌ی میانگین مقادیر طرح بهینه در ۴۰ اجرای متوالی با مقدار بهترین نتیجه برای طرح بهینه‌ی حاصل از روش پیشنهادی است. بررسی‌های انجام شده، بیانگر نزدیکی دو مقدار با یکدیگر است. این مقایسه نیز بیانگر ثبات و پایداری در شیوه‌ی بهینه‌یابی و یافتن طرح بهینه‌ی مناسب براساس الگوریتم پیشنهادی است.

با محاسبه‌ی تابع هدف برای هر طرح، باید معیاری برای شایستگی طرح‌های مختلف تعريف کرد. بدین منظور در مسائل بهینه‌یابی نامقید، تابع هدف اصلاح شده که تأثیر نقض قیود را برآساس تابع جرمیه در نظر می‌گیرد، به شرح رابطه‌ی ۲ تعريف می‌شود:

$$\varphi(X) = W(X)(1 + K \left(\sum_{i=1}^{n_{lc}} \sum_{q=1}^Q \max(\cdot, G_q) \right)) \quad (2)$$

که در آن، (X) تابع هدف اصلاح شده، G_q میزان نقض سازه در ارتباط با هر یک از قیود و Q تعداد کل قیود حاکم بر مسئله است. n_{lc} تعداد ترکیب‌های بارگذاری و K ثابت جرمیه است که برابر 10 در نظر گرفته شده است. برآسان رابطه‌ی ۲، می‌توان شایستگی هر طرح را رزیابی کرد. هر طرحی که قیود مسئله را بیشتر نقض کند، مقدار تابع (X) متناظر با آن بیشتر و در نتیجه شایستگی کمتری دارد و هر طرحی که (X) کمتری داشته باشد، شایستگی بیشتری خواهد داشت. بدین ترتیب طرح‌هایی با (X) کوچک‌تر به عنوان طرح‌های شایسته‌تر در نظر گرفته می‌شوند. بر این اساس اعضاء جمعیت طبق شایستگی مرتبت می‌شوند. برای این منظور شایسته‌ترین طرح، رتبه‌ی 1 و ناشایسته‌ترین طرح در جایگاه NP قرار می‌گیرد. تعداد طرح‌های موجود در جمعیت است که معادل تعداد نقاط متجرک در فضای جست‌وجو است که برای کلیه مثال‌ها برابر 20 در نظر گرفته شده است.

پس از مرتباًسازی اعضاء جمعیت، هر طرح برآسان روابط پیشنهادی در فضای طراحی جایه‌جا می‌شود. بدین منظور موقعیت جدید هر نقطه به صورت رابطه‌ی ۳ تعیین می‌شود:

$$X_{new}^k = X_{old}^k + \Delta X_{new}^k \quad k = 1, \dots, NP \quad (3)$$

که در آن، X_{old}^k و X_{new}^k به ترتیب بیانگر k ‌امین طرح در جمعیت حاضر (موقعیت فعلی طرح) و جمعیت جدید هستند. نیز مقدار جایه‌جا k ‌امین طرح در فضای طراحی برای جمعیت حاضر است، که برآسان رابطه‌ی ۴ محاسبه و ارزیابی می‌شود:

$$\Delta X_{new}^k = r \cdot \Delta X_{old}^k + Term1 + Term2 + Term3 \quad (4)$$

که در آن، ΔX_{old}^k میزان تغییرات و جایه‌جا k ‌امین طرح (نقطه) در تکرار قبلی است. لازم به ذکر است که مقدار ΔX_{old}^k در اولین تکرار برابر صفر در نظر گرفته می‌شود. از سوی دیگر، r ضریب کاوهنده‌ی است که برآسان رابطه‌ی ۵ به صورت خطی و نزولی تعريف می‌شود:

$$r = 1 - \frac{1}{9} (iter / iter_{max}) \quad (5)$$

که در آن، $iter$ و $iter_{max}$ به ترتیب بیانگر شماره‌ی تکرار و تعداد کل تکرارها در فرایند بهینه‌یابی هستند. بدین ترتیب مقدار r در کل فرایند بهینه‌یابی به صورت خطی و نزولی بین مقادیر 1 و 0 تغییر می‌کند. این تدبیر سبب می‌شود تا روش پیشنهادی در تکرارهای ابتدایی از فرایند بهینه‌یابی، به سمت نقطه‌ی بهینه سریع‌تر حرکت و نقاط متنوعی را تولید کند. بنابراین در تکرارهای ابتدایی، مقاهم اصل تنوع در فرایند بهینه‌یابی بیشتر مشاهده می‌شود. از سوی دیگر، در تکرارهای آخر به سبب کاهش مقدار ضریب r ، الگوریتم پیشنهادی با پیروی از اصل تشدید، همسایگی طرح‌های شایسته را دقیق‌تر جست‌وجو می‌کند.

در رابطه‌ی 4 ، تابع $Term1$ ، $Term2$ و $Term3$ دلالت بر 3 عامل اصلی برای تشکیل جمعیت‌های جدید، که در بخش ۱.۲ شرح داده شد، دارند. بر این

جمعیت‌های پی‌دریبی می‌شوند و به سوی نقطه‌ی بهینه حرکت می‌کنند. حرکت و جایه‌جا بر نقاط در فضای کاوش، همواره برآسان عوامل و ویژگی‌های جمعیت قبلی پی‌ریزی می‌شود. برای این منظور، اولین جمعیت مشابه دیگر الگوریتم‌های فراابتکاری به صورت تصادفی تولید می‌شود. سپس جمعیت‌های بعدی به صورت پیشین به این منظور موقعیت نقطه‌ی بهینه حرکت می‌کنند. برای این منظور، مرکز هندسی نقاط متناسب شکل می‌گیرند. برای این منظور، مرکز هندسی نقاط متناسب جمعیت پیشین به این منظور موقعیت نقطه‌ی بهینه حرکت می‌کنند. بدین ترتیب، مرکز هندسی نقاط متناسب جمعیت قبل، مرکز هندسی نقاط متناسب جمعیت پیشین و موقعیت نقطه‌ی بهینه حرکت می‌کنند. بدین ترتیب، مرکز هندسی نقاط متناسب جمعیت با حرکت در فضای طراحی به سوی مرکز کلیه‌ی نقاط، مرکز نقاط متناسب و نیز موقعیت نقاط متناسب جمعیت حاضر، جمعیت جدید را تشکیل می‌دهند. در این راستا میانگین میزان کیفیت نقاط جمعیت حاضر و میانگین مقدار کیفیت مجموعه‌ی نقاط متناسب و نیز میزان کیفیت هر یک از نقاط متناسب در میزان جایه‌جا برای نقاط متحرک مؤثر هستند. از دیگر عوامل مهم در شکل‌گیری موقعیت نقاط متناسب جمعیت جدید، میزان تغییرات و جایه‌جا بر نقطه در جمعیت قبل است که به صورت عاملی مستقل در رسیدن به موقعیت جدید هر نقطه مؤثر است. به بیان دیگر مقدار جایه‌جا بر نقطه در شکل‌گیری جمعیت پیشین به صورت مستقل در موقعیت جدید هر نقطه در جمعیت فاعلی برآسان 3 عامل می‌شود. بدین ترتیب هر نقطه در جمعیت در موقعیت فاعلی برآسان جایه‌جا مطرح مذکور در جمعیت قبل و نیز تغییرات حرکت پیشین، در فضای کاوش جایه‌جا می‌شود و درنهایت، جمعیت جدید با حرکت تمامی نقاط شکل می‌گیرد. برآسان روش مذکور، فرایند بهینه‌یابی به صورت تکاملی و شیوه‌ی مبتنی بر جست‌وجو تصادفی هوشمند هدایت می‌شود.

همان‌طور که ملاحظه شد، فرایند الگوریتم پیشنهادی با روندی تکاملی برای جمعیت‌های پی‌دریبی مشابه الگوریتم زنگنه است که این مهم برآسان ویژگی‌های هر جمعیت صورت می‌پذیرد. از سوی دیگر، حرکت نقاط در فضای کاوش مشابه فرایند بهینه‌یابی برآسان روش اجتماعی ذرات و روش جست‌وجوی ذرات باردار است. روش جست‌وجوی هارمونی نیز که از الگوریتم‌های قدرتمند با راهکارهای اصل تشدید است، برای جست‌وجوی محلی الگوریتم پیشنهادی انتخاب شده است. این مهم با استفاده از قوانین HS در تشکیل هارمونی جدید برآورده می‌شود.

۲.۲. فرمول بندی مسئله‌ی بهینه‌یابی براساس الگوریتم پیشنهادی در الگوریتم پیشنهادی، ابتدا جمعیت اولیه به صورت تصادفی و برآسان محدوده‌ی متغیرهای طراحی تولید می‌شود. سپس جمعیت اولیه برآسان شایستگی از بهترین تا بدترین طرح مرتبت خواهد شد. بدین منظور باید مقدار تابع هدف برای هر طرح تعیین شود. در مسائل بهینه‌یابی وزن سازه‌ها (X ، تابع هدف به شرح رابطه‌ی 1 تعریف می‌شود):

$$W(X) = \sum_{i=1}^{Ne} \rho x_i L_i \quad (1)$$

که در آن، مقادیر x_i بیانگر مقدار سطح مقطع i ‌امین عضواً سازه است. بنا براین X بردار سطح مقطع اعضاًست که به صورت $[x_1, x_2, \dots, x_n]$ تعریف شده و بیانگر نقطه‌ی در فضای طراحی n بعدی است. از سوی دیگر، در رابطه‌ی مذکور Ne تعداد اعضاء سازه و ρ وزن مخصوص مصالح است. L_i نیز طول عضو i از سازه موردنظر است.

که در آن، Ncp بیانگر تعداد نقاط مجموعه منتخب (طرح هایی با شایستگی مناسب) در جمعیت حاضر است. در رابطه‌ی ۱۰،

$$X^{Avg-cp} = [x_1^{Avg-cp}, x_2^{Avg-cp}, \dots, x_n^{Avg-cp}]$$

بیانگر موقعیت مرکز نقاط منتخب است که با استفاده از رابطه‌ی ۱۲ تعیین می‌شود:^[۱۱]

$$x_i^{Avg-cp} = \frac{1}{Ncp} \sum_{j=1}^{Ncp} x_j \quad i = 1, \dots, n \quad (12)$$

نکته‌ی حائز اهمیت در محاسبه‌ی $Term2$ ، تعیین مجموعه‌ی نقاط منتخب و یا به تعبیر صحیح‌تر در فرایند بهینه‌یابی، تعیین مجموعه‌ی از طرح‌های شایسته در هر جمعیت است. برای این منظور معیاری با عنوان شایستگی استاندارد براساس رابطه‌ی ۱۳ تعریف می‌شود:^[۲۲]

$$\varphi_{sf} = \varphi_{Avg} + \lambda \sqrt{\left(\frac{1}{(NP+1)} \sum_{j=1}^{NP} (\varphi_j - \varphi_{Avg})^2 \right)} \quad (13)$$

که در آن، φ_{sf} شایستگی استاندارد است. λ نیز ضریب استانداردسازی شایستگی است که در ابتدای فرایند بهینه‌یابی مشخص می‌شود. اتخاذ مقادیر λ کوچک، سبب همگلی زور در الگوریتم خواهد شد. بر این اساس الگوریتم فرصت کافی برای جستجوی فضای طراحی ندارد و در بهینه‌ی محلی گرفتار می‌شود. از سوی دیگر، اتخاذ مقادیر بزرگ برای λ نیز توصیه نمی‌شود، چراکه بدین ترتیب الگوریتم به سوی جستجوی تصادفی هدایت می‌شود. بنابراین انتخاب مقادیر صحیح λ از مسائل مهم در الگوریتم پیشنهادی است و معیارهای اصل تنوع را کنترل می‌کند. با بررسی‌های انجام‌شده توصیه می‌شود که در مسائل بهینه‌یابی سازه‌ها، مقدار λ در محدوده‌ی ۰,۵ تا ۰,۱ در نظر گرفته شود.

با محاسبه‌ی φ_{sf} می‌توان مجموعه‌ی نقاط منتخب را تشکیل و پارامتر Ncp را مشخص کرد. بر این اساس طرح‌هایی که تابع هدف اصلاح‌شده‌ی کمتری از مقادیر φ_{sf} داشته باشند، در مجموعه‌ی نقاط منتخب دسته‌بندی می‌شوند. بدین ترتیب با تشکیل مجموعه‌ی نقاط منتخب، مقادیر φ_{Avg-cp} و φ_{Avg} براساس روابط ۱۱ و ۱۲ قابل محاسبه است.

پس از محاسبه‌ی مقادیر $Term2$ ، باید برای تعیین میزان جایه‌جایی هر طرح، مقدار $Term3$ نیز محاسبه شود. $Term3$ بیانگر حرکت هر طرح در فضای طراحی به سوی موقعیت هر یک از نقاط منتخب در جمعیت حاضر است، تا بدین‌سان طرحی با شایستگی بیشتر برای جمعیت جدید حاصل شود. برای این منظور مقدار $Term3$ برای هر طرح به شرح رابطه‌ی ۱۴ تعیین می‌شود:

$$Term3 = r_3 \sum_{j=1}^{Ncp} \left[\frac{\varphi_1}{\varphi_j} (X_j^j - X_{old}^k) \right] \quad (14)$$

که در آن، r_3 ضریبی است که در میزان حرکت به سوی موقعیت نقاط منتخب مؤثر است. این پارامتر به صورت صعودی در کل فرایند بهینه‌یابی طبق رابطه‌ی ۱۵ افزایش می‌یابد. براساس رابطه‌ی ۱۵، کمترین مقدار r_3 در ابتدای عملیات بهینه‌یابی ۰/۱ و بیشترین مقدار آن برابر ۱ در پایان فرایند بهینه‌یابی است. اتخاذ شیوه‌ی صعودی برای r_3 ، سبب افزایش تدریجی تأثیر $Term3$ در فرایند بهینه‌یابی می‌شود. رفتار صعودی $Term3$ نیز سبب می‌شود تا الگوریتم در تکرارهای نهایی از گرفتاری در بهینه‌ی محلی رهایی یابد. به بیان دیگر می‌توان اذعان داشت که وجود $Term3$

اساس $Term1$ سبب حرکت هر نقطه (طرح) به سوی مرکز نقاط جمعیت حاضر می‌شود. بنابراین باید مرکز هر جمعیت تعیین شود. لذا نقطه‌ی مرکز جمعیت حاضر یعنی موقعیت $X^{Avg} = [x_1^{Avg}, x_2^{Avg}, \dots, x_n^{Avg}]$ براساس رابطه‌ی ۶ مشخص می‌شود:

$$x_i^{Avg} = \frac{1}{NP} \sum_{j=1}^{NP} x_j \quad i = 1, \dots, n \quad (6)$$

با محاسبه‌ی X^{Avg} ، مقدار $Term1$ برای هر طرح به شرح رابطه‌ی ۷ محاسبه خواهد شد:

$$Term1 = r_1 \text{rand}1 \left[\frac{\varphi_1}{\varphi_{Avg}} (X^{Avg} - X_{old}^k) \right] \quad (7)$$

که براساس آن، هر نقطه (طرح) در جمعیت جدید به مقدار $Term1$ به سوی مرکز کلیه‌ی نقاط جمعیت قبل حرکت می‌کند. در رابطه‌ی ۷، r_1 بیانگر عددی تصادفی و یکنواخت در محدوده‌ی صفر تا ۱ است. φ₁ بیانگر مقادیر تابع هدف اصلاح‌شده‌ی بهترین طرح در جمعیت حاضر (ولین طرح در هر جمعیت) است. پارامتر r_1 نیز ضریبی است که در حرکت هر نقطه به سوی مرکز نقاط جمعیت مؤثر است. برای ایجاد آهنگ پایدار در رسیدن به طرح بهینه، ضریب r_1 در طی فرایند بهینه‌یابی به صورت خطی و نزولی به شرح رابطه‌ی ۸ تعریف می‌شود، که براساس آن بیشترین مقدار r_1 در ابتدای عملیات بهینه‌یابی با مقدار ۱ و کمترین مقدار آن برابر ۰/۱ در پایان فرایند بهینه‌یابی است. بدین ترتیب در ابتدای $Term1$ بیشتر است و این مهم سبب افزایش تولید نقاط متنوع در کل فضای طراحی خواهد شد. بدین ترتیب اصل تنوع در ابتدای فرایند بهینه‌یابی حاکم است. از سوی دیگر، طی فرایند بهینه‌یابی، مقادیر $Term1$ به آهستگی کوچک می‌شود. این مهم سبب افزایش اصل تشدید و کاهش مفاہیم اصل تنوع در انتهای فرایند بهینه‌یابی خواهد شد. لذا در انتهای فرایند بهینه‌یابی، همسایگی طرح‌های مستعد کاوش خواهد شد:

$$r_1 = 1 - 0,9 \left(\frac{\text{iter}}{\text{iter}_{\max}} \right) \quad (8)$$

در رابطه‌ی ۷، φ_{Avg} میانگین مقادیر تابع هدف اصلاح‌شده‌ی طرح‌های جمعیت حاضر است. این مقدار به صورت رابطه‌ی ۹ محاسبه می‌شود:

$$\varphi_{Avg} = \frac{1}{NP} \sum_{j=1}^{NP} \varphi_j \quad (9)$$

با محاسبه‌ی φ_{Avg} می‌توان مقدار $Term1$ را برای رابطه‌ی ۴ محاسبه کرد. از سوی دیگر، در رابطه‌ی ۴، $Term2$ بیانگر مقدار حرکت هر طرح به سوی مرکز نقاطی با شایستگی بالا از جمعیت قبل است. این نقاط با عنوان نقاط منتخب تعیین می‌شوند. بدین ترتیب مقدار $Term2$ برای هر طرح در جمعیت حاضر به صورت رابطه‌ی ۱۰ محاسبه می‌شود:

$$Term2 = r_2 \text{rand}2 \left[\frac{\varphi_1}{\varphi_{Avg-cp}} (X^{Avg-cp} - X_{old}^k) \right] \quad (10)$$

که در آن، r_2 بیانگر عددی تصادفی و یکنواخت در محدوده‌ی صفر تا ۱ است. φ_{Avg-cp} در رابطه‌ی ۱۰، نیز میانگین مقادیر تابع هدف اصلاح‌شده‌ی طرح‌های متناظر با نقاط منتخب حاضر است. این مقدار در فرایند بهینه‌یابی مطابق رابطه‌ی ۱۱ محاسبه می‌شود:

$$\varphi_{Avg-cp} = \frac{1}{Ncp} \sum_{j=1}^{Ncp} \varphi_j \quad (11)$$

در الگوریتم پیشنهادی مشابه فرایند جهش در الگوریتم ژنتیک است:

$$r_2 = \frac{1}{iter_{max}} + 0.9 \quad (15)$$

از سوی دیگر، در رابطه‌ی X^j نیز بیانگر موقعیت زامین طرح در فضای طراحی از مجموعه نقاط منتخب است.

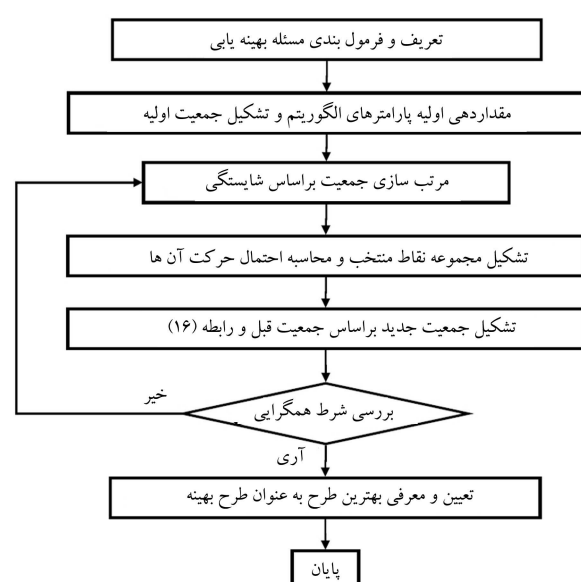
با محاسبه‌ی $Term^3$ ، مقدار ΔX_{new}^k در رابطه‌ی ۴ به راحتی قابل محاسبه است. با تعیین مقدار ΔX_{new}^k نیز مقدار X_{new}^k بر حسب رابطه‌ی ۳ محاسبه و موقعیت جدید هر طرح در جمعیت جدید مبتنی بر پارامترهای جمعیت قبل مشخص می‌شود. بنابراین در حالت کالی رابطه‌ی حاکم بر الگوریتم پیشنهادی به شرح رابطه‌ی ۱۶ محاسبه می‌شود:

$$\begin{aligned} X_{new}^k &= X_{old}^k + r_0 \cdot \Delta X_{old}^k \\ &+ r_1 \left[rand1 \left[\frac{\varphi_1}{\varphi_{Avg}} (X^{Avg} - X_{old}^k) \right] \right. \\ &\left. + rand2 \left[\frac{\varphi_1}{\varphi_{Avg-cp}} (X^{Avg-cp} - X_{old}^k) \right] \right] \\ &+ r_2 \sum_{j=1}^{Ncp} \left[\frac{\varphi_1}{\varphi_j} (X^j - X_{old}^k) \right] \quad k = 1, \dots, NP \end{aligned} \quad (16)$$

با محاسبه‌ی X_{new}^k برای تمامی طرح‌های جمعیت حاضر، جمعیت جدید قابل تشکیل است و با تشکیل آن، فرایند بهینه‌یابی تا برقراری شرط خاتمه ادامه می‌یابد. زمانی که شرط خاتمه محقق شود، الگوریتم بهترین طرح را به عنوان طرح بهینه معرفی می‌کند. تعیین تعداد دفعات تکرار مشخص، از ساده‌ترین راه حل‌ها برای شرط خاتمه در الگوریتم‌های فراابتکاری است. بدین‌منظور الگوریتم مراحل تکرار را به تعداد دفعات مشخص انجام و درنهایت بهترین طرح را به عنوان طرح بهینه معرفی می‌کند.

شکل ۱، مراحل الگوریتم پیشنهادی را نشان می‌دهد.

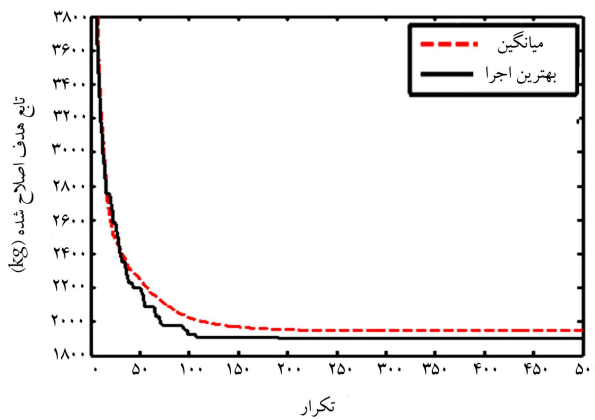
از تمهیدات ویژه‌یی که کارآیی الگوریتم پیشنهادی را افزایش می‌دهد، اتخاذ فرایند شرطی برای حرکت نقاط منتخب در هر جمعیت است. به عبارت دیگر، با بررسی‌های انجام شده مشخص شد که اگر شرط منطقی برای حرکت نقاط منتخب در هر جمعیت وجود داشته باشد، کارآیی الگوریتم افزایش می‌یابد. برای این منظور



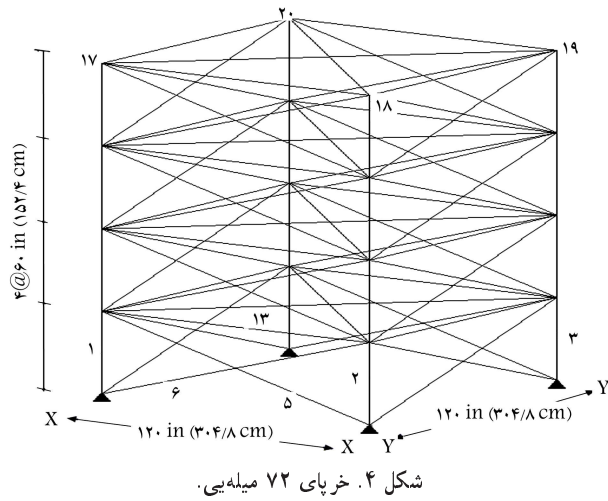
شکل ۱. کلیات مراحل الگوریتم بهینه‌یابی سازه‌ها توسط الگوریتم پیشنهادی.

۳. مثال‌های عددی

جهت بررسی عملکرد الگوریتم پیشنهادی چند مثال به این شرح بررسی شده است: در هر مثال برای اجتناب از تأثیر پارامترهای تصادفی و بیان کارآیی الگوریتم و تأثیر مقادیر پارامترها در نتایج، ۴۰ اجرای فرایند بهینه‌یابی به صورت مستقل به ازاء مقادیر



شکل ۳. سیر هم‌گرایی فرایند بهینه‌یابی برای خربای ۵۲ میله‌یابی.

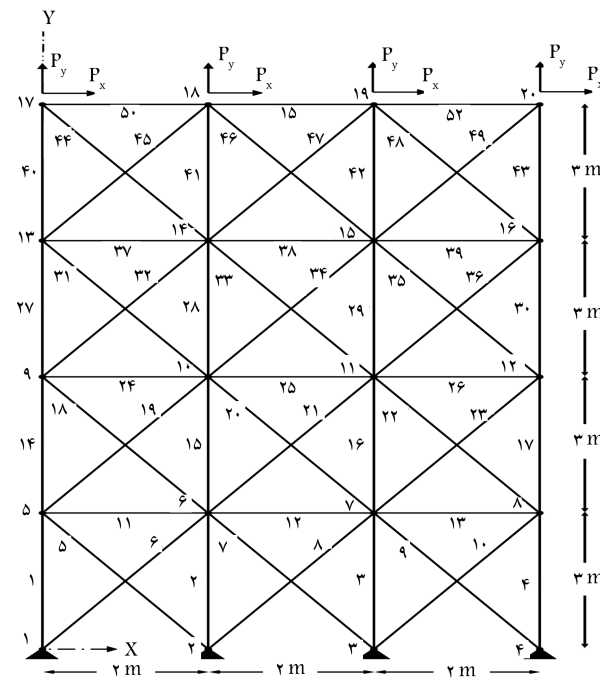


شکل ۴. خربای ۷۲ میله‌یابی.

و پایداری الگوریتم را در اجراهای مختلف نشان می‌دهد. بدین ترتیب با یک بار اجرای الگوریتم پیشنهادی می‌توان به طرح مناسب و قابل قبول دست یافت. جدول ۲، بهترین طرح حاصل براساس الگوریتم پیشنهادی را در قیاس با دیگر مراجع نشان می‌دهد. در جدول مذکور نیز مقایسه‌ی بین مقدار وزن بهترین اجرا و میانگین مقادیر وزن بهینه‌ی ۴۰ اجرا انجام شده است. همان‌طور که مشاهده می‌شود، اختلاف میانگین مقادیر و بهترین طرح براساس الگوریتم پیشنهادی بسیار اندک است. لازم به ذکر است که تعداد آنالیزها در بهترین اجرا که طرح بهینه به ازاء آن در تکرار ۱۸۹ حاصل شده است، با توجه به وجود ۲۰ نقطه در هر تکرار به راحتی قابل محاسبه است.

۲.۳. خربای ۷۲ میله‌یابی

در مثال حاضر بهینه‌یابی خربای ۷۲ میله‌یابی مطابق شکل ۴ پرداخته شده است. برای خربای مذکور، E و ρ به ترتیب برابر $10000 \text{ ksi} (68947.6 \text{ MPa})$ و $1 lb/in^3 (2767.99 \text{ kg/m}^3)$ در نظر گرفته شده‌اند. محدوده‌ی تنش برای اعضاء خربا برابر $(172,369 \text{ MPa}) \pm 25 \text{ ksi}$ و بیشینه‌ی تغییر مکان گره‌ی برابر $0,635 \text{ cm}$ فرض شده است. جدول ۱، شامل فهرست مقاطع موجود برای فرایند بهینه‌یابی است. بارهای مؤثر در خربای فضایی ۷۲ میله‌یابی در دو وضعیت به شرح جدول ۳ در نظر گرفته شده است.



شکل ۲. خربای ۵۲ میله‌یابی.

مختلف برای پارامترهای اولیه انجام شده است. سپس سیر هم‌گرایی میانگین برای ۴۰ اجرا رسم و با بهترین سیر هم‌گرایی در بین ۴۰ اجرا مقایسه شده است. همچنین برای آزمودن کارآیی الگوریتم، مقدار بهترین طرح بهینه و میانگین طرح‌های بهینه‌ی ۴۰ اجرا نیز مقایسه شده است. نزدیکی سیر هم‌گرایی بهترین و سیر هم‌گرایی میانگین و نیز مقادیر بهترین طرح و مقدار میانگین طرح نهایی ۴۰ اجرا، بینگر ثبات و پایداری الگوریتم در اجراهای مختلف و استقلال نسبت به مقادیر پارامترهای اولیه است و بدین ترتیب می‌توان به اجرای یک بار الگوریتم برای دست‌یابی به طرحی مناسب اعتقاد کرد. از سوی دیگر، نتایج مذکور بینگر عدم تصادفی بودن الگوریتم پیشنهادی در نیل به نقطه‌ی بهینه است.

۳. خربای ۵۲ میله‌یابی

در اولین مثال به ارزیابی خربای ۵۲ میله‌یابی پرداخته شده است. شکل ۲، خربای موردنظر را نشان می‌دهد که در آن مقادیر P_x و P_y به ترتیب برابر 100 kN و 200 kN در نظر گرفته شده‌اند. در سازه‌ی مذکور، E و ρ به ترتیب برابر $2,07 \times 10^5 \text{ MPa}$ و 286 kg/m^3 فرض شده است. از سوی دیگر، اعضاء خربا در ۱۲ گروه دسته‌بندی و فقط قید تنش با محدوده‌ی مجاز $\pm 180 \text{ MPa}$ برای اعضاء خربا لحاظ شده است. فهرست مقاطع موجود برای طراحی بهینه‌ی خربای حاضر به شرح جدول ۱ فرض شده است. پس از انجام فرایند طراحی بهینه براساس الگوریتم پیشنهادی، روند بهینه‌یابی به صورت شکل ۳ حاصل شده است. در شکل مذکور، نمودار میانگین ۴۰ اجرا مستقل و متوالی عملیات بهینه‌یابی براساس الگوریتم پیشنهادی (میانگین) به ازاء مقادیر مختلف برای پارامترهای روش، به همراه بهترین روند برای فرایند بهینه‌یابی در اجراهای متوالی (بهترین اجرا) رسم شده است. همان‌طور که مشاهده می‌شود، نمودار بهترین حالت و میانگین اجراهای متوالی به یکدیگر نزدیک هستند. این مهم بینگر عدم تصادفی بودن فرایند بهینه‌یابی براساس الگوریتم پیشنهادی است و ثبات

جدول ۱. فهرست مقاطع برای خرپاهای ۵۲ و ۷۲ میله‌ی بی.

$A - mm^r (in^r)$	شماره						
۷۴۱۹۴۳ (۱۱,۵)	۴۹	۲۴۷۷,۴۱۴ (۳,۸۴)	۲۳	۱۰۰۸,۳۸۵ (۱,۵۶۳)	۱۷	۷۱,۶۱۳ (۰,۱۱۱)	۱
۸۷۰,۹۸۸ (۱۲,۵)	۵۰	۲۴۹۶,۷۶۹ (۳,۸۷)	۲۴	۱۰۴۵,۱۰۹ (۱,۶۲)	۱۸	۹۰,۹۶۸ (۰,۱۴۱)	۲
۸۹۶۷,۷۲۴ (۱۳,۹)	۵۱	۲۵۰۳,۲۲۱ (۳,۸۸)	۲۵	۱۱۶۱,۲۸۸ (۱,۸)	۱۹	۱۲۶,۴۵۱ (۰,۱۹۶)	۳
۹۱۶۱,۲۷۲ (۱۴,۲)	۵۲	۲۶۹۶,۷۶۹ (۴,۱۸)	۲۶	۱۲۸۳,۸۶۸ (۱,۹۹)	۲۰	۱۶۱,۲۹ (۰,۲۵)	۴
۹۹۹۹,۹۸ (۱۵,۵)	۵۳	۲۷۲۲,۵۷۵ (۴,۲۲)	۲۷	۱۳۷۴,۱۹۱ (۲,۱۳)	۲۱	۱۹۸,۰۶۴ (۰,۳۰۷)	۵
۱۰۳۲۲,۵۶ (۱۶)	۵۴	۲۸۹۶,۷۶۸ (۴,۴۹)	۲۸	۱۵۳۵,۴۸۱ (۲,۳۸)	۲۲	۲۵۲,۲۵۸ (۰,۳۹۱)	۶
۱۰۹۰,۳,۲۰۴ (۱۶,۹)	۵۵	۲۹۶۱,۲۸۴ (۴,۵۹)	۲۹	۱۶۹۰,۳۱۹ (۲,۶۲)	۲۳	۲۸۵,۱۶۱ (۰,۴۴۲)	۷
۱۲۱۲۹,۰,۰۸ (۱۸,۸)	۵۶	۳۰۹۶,۷۸۸ (۴,۸)	۴۰	۱۶۹۶,۷۷۱ (۲,۶۳)	۲۴	۳۶۳,۲۲۵ (۰,۵۶۳)	۸
۱۲۸۳۸,۶۸۴ (۱۹,۹)	۵۷	۳۲۰۶,۴۴۵ (۴,۹۷)	۴۱	۱۸۵۸,۰۶۱ (۲,۸۸)	۲۵	۳۸۸,۳۸۶ (۰,۶۰۲)	۹
۱۴۱۹۳,۵۲ (۲۲)	۵۸	۳۳۰۳,۲۱۹ (۵,۱۲)	۴۲	۱۸۹۰,۳۱۹ (۲,۹۳)	۲۶	۴۹۴,۱۹۳ (۰,۷۶۶)	۱۰
۱۴۷۷۴,۱۶۴ (۲۲,۹)	۵۹	۳۷۰۳,۲۱۸ (۵,۷۴)	۴۳	۱۹۹۳,۵۴۴ (۳,۰۹)	۲۷	۵۰۶,۴۵۱ (۰,۷۸۵)	۱۱
۱۵۸۰,۴۲ (۲۴,۵)	۶۰	۴۶۵۸,۰۵۵ (۷,۲۲)	۴۴	۷۲۹,۰۳۱ (۱,۱۳)	۲۸	۶۴۱,۲۸۹ (۰,۹۹۴)	۱۲
۱۷۰,۹۶,۷۴ (۲۶,۵)	۶۱	۵۱۴۱,۹۲۵ (۷,۹۷)	۴۵	۲۱۸۰,۶۴۱ (۳,۳۸)	۲۹	۶۴۵,۱۶ (۱,۰)	۱۳
۱۸۰,۶۴,۴۸ (۲۸)	۶۲	۵۵۰۳,۲۱۵ (۸,۵۳)	۴۶	۲۲۳۸,۷۰۵ (۳,۴۷)	۳۰	۷۹۲,۲۵۶ (۱,۲۲۸)	۱۴
۱۹۳۵۴,۸ (۳۰)	۶۳	۵۹۹۹,۹۸۸ (۹,۳)	۴۷	۲۲۹۰,۳۱۸ (۳,۵۵)	۳۱	۸۱۶,۷۷۳ (۱,۲۶۶)	۱۵
۲۱۶۱۲,۸۶ (۳۳,۵)	۶۴	۶۹۹۹,۹۸۶ (۱۰,۸۵)	۴۸	۲۳۴۱,۹۳۱ (۳,۶۳)	۳۲	۹۴۰,۰۰۰ (۱,۴۵۷)	۱۶

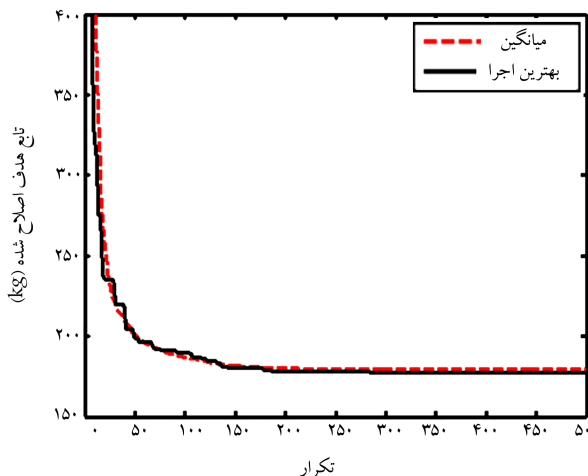
جدول ۲. نتایج طرح بهینه برای سطح مقاطع اعضاء خرپا ۵۲ میله‌ی بی (mm^r).

نوشتار حاضر	[۲۷]	[۲۶]	[۲۵]	[۲۴]	[۲۳]	اعضا
۴۶۵۸,۰۵۵	۴۶۵۸,۰۵۵	۴۶۵۸,۰۵۵	۴۶۵۸,۰۵۵	۴۶۵۸,۰۵۵	۴۶۵۸,۰۵۵	$A_1 - A_4$
۱۱۶۱,۲۸۸	۱۱۶۱,۲۸۸	۱۱۶۱,۲۸۸	۱۱۶۱,۲۸۸	۱۱۶۱,۲۸۸	۱۱۶۱,۲۸۸	$A_5 - A_{10}$
۴۹۴,۱۹۳	۳۸۸,۳۸۶	۵۰۶,۴۵۱	۴۹۴,۱۹۳	۳۶۳,۲۲۵	۴۹۴,۱۹۳	$A_{11} - A_{12}$
۲۳۰۳,۲۱۹	۲۳۰۳,۲۱۹	۲۳۰۳,۲۱۹	۲۳۰۳,۲۱۹	۲۳۰۳,۲۱۹	۲۳۰۳,۲۱۹	$A_{13} - A_{17}$
۹۴۰,۰۰۰	۹۴۰,۰۰۰	۹۴۰,۰۰۰	۱۰۰۸,۳۸۵	۹۴۰,۰۰۰	۹۴۰,۰۰۰	$A_{18} - A_{22}$
۴۹۴,۱۹۳	۴۹۴,۱۹۳	۵۰۶,۴۵۱	۲۸۵,۱۶۱	۴۹۴,۱۹۳	۶۴۱,۲۸۹	$A_{23} - A_{26}$
۲۲۳۸,۷۰۵	۲۲۳۸,۷۰۵	۲۲۳۸,۷۰۵	۲۲۹۰,۳۱۸	۲۲۳۸,۷۰۵	۲۲۳۸,۷۰۵	$A_{27} - A_{30}$
۱۰۰۸,۳۵	۱۰۰۸,۳۵	۱۰۰۸,۳۸۵	۱۰۰۸,۳۸۵	۱۰۰۸,۳۸۵	۱۰۰۸,۳۸۵	$A_{31} - A_{36}$
۴۹۴,۱۹۳	۴۹۴,۱۹۳	۳۸۸,۳۸۶	۳۸۸,۳۸۶	۳۸۸,۳۸۶	۳۶۳,۲۲۵	$A_{37} - A_{39}$
۱۲۸۳,۸۶۸	۱۲۸۳,۸۶۸	۱۲۸۳,۸۶۸	۱۲۸۳,۸۶۸	۱۲۸۳,۸۶۸	۱۲۸۳,۸۶۸	$A_{4۰} - A_{4۲}$
۱۱۶۱,۲۸۸	۱۱۶۱,۲۸۸	۱۱۶۱,۲۸۸	۱۱۶۱,۲۸۸	۱۱۶۱,۲۸۸	۱۱۶۱,۲۸۸	$A_{4۳} - A_{4۹}$
۴۹۴,۱۹۳	۴۹۴,۱۹۳	۵۰۶,۴۵۱	۵۰۶,۴۵۱	۷۹۲,۲۵۶	۴۹۴,۱۹۳	$A_{5۰} - A_{5۲}$
-	۰,۰۰۱۱۴۳	۰,۰۰۰۱۱۶	۰,۰۰۲۷۲۵	-	-	نقص قید
۱۹۰۲,۶۰۵	۱۸۹۷,۶۲	۱۸۹۹,۳۵	۱۹۰۴,۸۳	۱۹۰۵,۴۹۵	۱۹۰۳,۳۶	وزن - kg
۱۹۴۶,۶۴۱	-	-	-	-	-	میانگین

جدول ۳. مقادیر و جهت بارهای اعمالی به خرپای ۷۲ میله‌ی بی.

$P_Z - Kips(kN)$	$P_Y - Kips(kN)$	$P_X - Kips(kN)$	شماره‌ی گره	وضعیت بارگذاری
-۵ (-۲۲,۲۴۱)	۵ (۲۲,۲۴۱)	۵ (۲۲,۲۴۱)	۱۷	
-	-	-	۱۸	
-	-	-	۱۹	
-	-	-	۲۰	
-۵ (-۲۲,۲۴۱)	-	-	۱۷	
-۵ (-۲۲,۲۴۱)	-	-	۱۸	
-۵ (-۲۲,۲۴۱)	-	-	۱۹	
-۵ (-۲۲,۲۴۱)	-	-	۲۰	

نوتشار حاضر	[۲۹]	[۲۰]	[۱۷]	[۲۸]	[۲۵]	اعضا
۲/۳۱ (۱۳۷۴, ۱۹۱)	۱,۸ (۱۱۶۱, ۲۸۸)	۱,۵۶۳ (۱۰۰۸, ۳۸۵)	۱,۹۹ (۱۲۸۳, ۸۶۸)	۱,۹۹ (۱۲۸۳, ۸۶۸)	۱,۸ (۱۱۶۱, ۲۸۸)	A _۱ – A _۲
۰,۵۶۳ (۳۶۳, ۲۲۵)	۰,۵۶۳ (۳۶۳, ۲۲۵)	۰,۵۶۳ (۳۶۳, ۲۲۵)	۰,۶۰۲ (۳۸۸, ۳۸۶)	۰,۴۴۲ (۲۸۵, ۱۶۱)	۰,۴۴۲ (۲۸۵, ۱۶۱)	A _۵ – A _{۱۱}
۰,۱۱۱ (۷۱, ۶۱۳)	۰,۱۱۱ (۷۱, ۶۱۳)	۰,۱۱۱ (۷۱, ۶۱۳)	۰,۱۱۱ (۷۱, ۶۱۳)	۰,۱۱۱ (۷۱, ۶۱۳)	۰,۱۴۱ (۹۰, ۹۶۸)	A _{۱۲} – A _{۱۶}
۰,۱۱۱ (۷۱, ۶۱۳)	۰,۱۱۱ (۷۱, ۶۱۳)	۰,۱۱۱ (۷۱, ۶۱۳)	۰,۱۱۱ (۷۱, ۶۱۳)	۰,۱۱۱ (۷۱, ۶۱۳)	۰,۱۱۱ (۷۱, ۶۱۳)	A _{۱۷} – A _{۱۸}
۱,۲۲۸ (۷۹۲, ۲۵۶)	۱,۲۶۶ (۸۱۶, ۷۷۳)	۱,۲۶۶ (۸۱۶, ۷۷۳)	۱,۲۶۶ (۸۱۶, ۷۷۳)	۱,۲۲۸ (۷۹۲, ۲۵۶)	۱,۲۲۸ (۷۹۲, ۲۵۶)	A _{۱۹} – A _{۲۲}
۰,۴۴۲ (۲۸۵, ۱۶۱)	۰,۵۶۳ (۳۶۳, ۲۲۵)	۰,۵۶۳ (۳۶۳, ۲۲۵)	۰,۴۴۲ (۲۸۵, ۱۶۱)	۰,۶۰۲ (۳۸۸, ۳۸۶)	۰,۵۶۳ (۳۶۳, ۲۲۵)	A _{۲۳} – A _{۲۰}
۰,۱۱۱ (۷۱, ۶۱۳)	۰,۱۱۱ (۷۱, ۶۱۳)	۰,۱۱۱ (۷۱, ۶۱۳)	۰,۱۱۱ (۷۱, ۶۱۳)	۰,۱۱۱ (۷۱, ۶۱۳)	۰,۱۱۱ (۷۱, ۶۱۳)	A _{۲۱} – A _{۲۴}
۰,۱۱۱ (۷۱, ۶۱۳)	۰,۱۱۱ (۷۱, ۶۱۳)	۰,۱۱۱ (۷۱, ۶۱۳)	۰,۱۱۱ (۷۱, ۶۱۳)	۰,۱۴۱ (۹۰, ۹۶۸)	۰,۱۱۱ (۷۱, ۶۱۳)	A _{۲۵} – A _{۲۶}
۰,۴۴۲ (۲۸۵, ۱۶۱)	۰,۵۶۳ (۳۶۳, ۲۲۵)	۰,۳۹۱ (۲۵۲, ۲۵)	۰,۴۴۲ (۲۸۵, ۱۶۱)	۰,۵۶۳ (۳۶۳, ۲۲۵)	۰,۵۶۳ (۳۶۳, ۲۲۵)	A _{۲۷} – A _{۴۰}
۰,۵۶۳ (۳۶۳, ۲۲۵)	۰,۴۴۲ (۲۸۵, ۱۶۱)	۰,۵۳۶ (۳۶۳, ۲۲۵)	۰,۶۰۲ (۳۸۸, ۳۸۶)	۰,۵۶۳ (۳۶۳, ۲۲۵)	۰,۵۶۳ (۳۶۳, ۲۲۵)	A _{۴۱} – A _{۴۸}
۰,۱۱۱ (۷۱, ۶۱۳)	۰,۱۱۱ (۷۱, ۶۱۳)	۰,۱۱۱ (۷۱, ۶۱۳)	۰,۱۱۱ (۷۱, ۶۱۳)	۰,۱۱۱ (۷۱, ۶۱۳)	۰,۱۱۱ (۷۱, ۶۱۳)	A _{۴۹} – A _{۵۲}
۰,۱۱۱ (۷۱, ۶۱۳)	۰,۱۱۱ (۷۱, ۶۱۳)	۰,۱۱۱ (۷۱, ۶۱۳)	۰,۱۱۱ (۷۱, ۶۱۳)	۰,۲۵ (۱۶۱, ۲۹)	۰,۲۵ (۱۶۱, ۲۹)	A _{۵۳} – A _{۵۴}
۰,۱۹۶ (۱۲۶, ۴۵۱)	۰,۱۹۶ (۱۲۶, ۴۵۱)	۰,۱۹۶ (۱۲۶, ۴۵۱)	۰,۱۹۶ (۱۲۶, ۴۵۱)	۰,۱۹۶ (۱۲۶, ۴۵۱)	۰,۱۹۶ (۱۲۶, ۴۵۱)	A _{۵۵} – A _{۵۸}
۰,۵۶۳ (۳۶۳, ۲۲۵)	۰,۶۰۲ (۳۸۸, ۳۸۶)	۰,۵۶۳ (۳۶۳, ۲۲۵)	۰,۵۶۳ (۳۶۳, ۲۲۵)	۰,۵۶۳ (۳۶۳, ۲۲۵)	۰,۵۶۳ (۳۶۳, ۲۲۵)	A _{۵۹} – A _{۶۶}
۰,۳۹۱ (۲۵۲, ۲۵)	۰,۳۹۱ (۲۵۲, ۲۵)	۰,۳۹۱ (۲۵۲, ۲۵)	۰,۳۹۱ (۲۵۲, ۲۵)	۰,۳۰۷ (۱۹۸, ۰۶۴)	۰,۴۴۲ (۲۸۵, ۱۶۱)	A _{۶۷} – A _{۷۰}
۰,۵۶۳ (۳۶۳, ۲۲۵)	۰,۵۶۳ (۳۶۳, ۲۲۵)	۰,۶۰۲ (۳۸۸, ۳۸۶)	۰,۴۴۲ (۲۸۵, ۱۶۱)	۰,۶۰۲ (۳۸۸, ۳۸۶)	۰,۵۶۳ (۳۶۳, ۲۲۵)	A _{۷۱} – A _{۷۲}
۳۸۹, ۷۹ (۱۷۶, ۸۰۶)	۳۸۹, ۸۷ (۱۷۶, ۸۴)	۳۹۰, ۱۸ (۱۷۶, ۹۸۳)	۳۹۱, ۶۰۷ (۱۷۷, ۶۳)	۳۹۲, ۸۴ (۱۷۸, ۱۸۹)	۳۹۳, ۳۸ (۱۷۸, ۴۳۴)	وزن - lb(kg)
۳۹۵, ۸۴ (۱۷۹, ۵۰۲)	-	-	-	-	-	میانگین



شکل ۵. سیر همگرایی فرایند بهینه‌یابی برای خرپای ۷۲ میلیمتری.

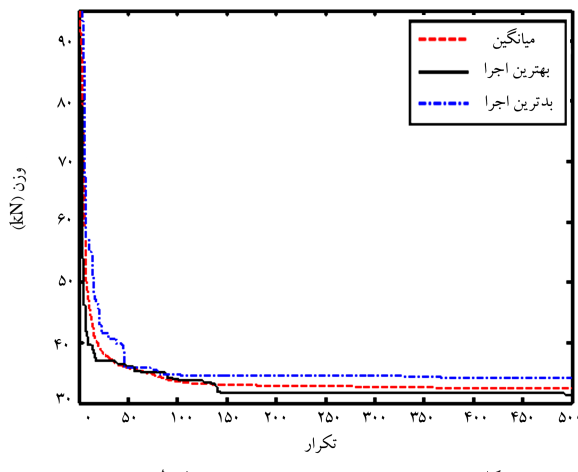
و فقط قید تغییرمکان با مقدار مجاز $50 \times 8 \text{ cm}^3$ برای گره‌های طبقه‌ی آخر در نظر گرفته شد است. بارهای مؤثر در سازه به صورت شکل ۶ فرض شده است. اعضاء قاب مذکور در ۸ گروه همانند شکل ۶ دسته‌بندی و از فهرست ۲۶۸ تابی مقاطع W بهشود جدول ۵ انتخاب شده‌اند.

در مثال حاضر نیز برای ارزیابی کارایی کارایی الگوریتم پیشنهادی، ۴۰ اجرای متولی فرایند بهینه‌یابی به ازاء مقدار مختلف برای پارامترهای اولیه‌ی روش ذکرشده صورت پذیرفته است. سپس سیر همگرایی بهترین و بدترین حالت و نیز سیر همگرایی میانگین ۴۰ اجرا به صورت نمودار در شکل ۷ رسم شده است. همان‌طور که مشاهده می‌شود،

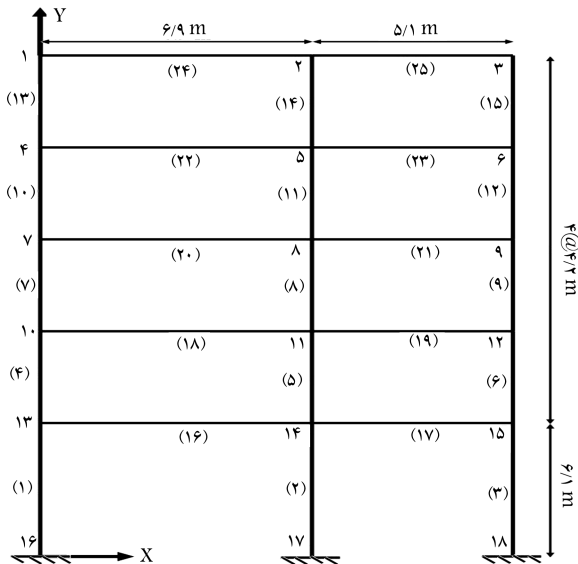
شکل ۵، سیر همگرایی به ازاء بهترین حالت (بهترین اجرا) و نیز الگوی میانگین ۴۰ (میانگین) اجرای مختلف براساس مقادیر متفاوت برای پارامترهای اولیه‌ی روش ذکرشده را برای خرپای فضایی ۷۲ میلیمتری نشان می‌دهد. همان‌طور که مشاهده می‌شود، این دو نمودار بسیار به یکدیگر نزدیک هستند. بنابراین می‌توان نتیجه گرفت که الگوریتم پیشنهادی در اجراهای مختلف، عملکرد قابل قبولی دارد و طرح مناسبی را ارائه می‌دهد. از سوی دیگر، نزدیکی دو سیر همگرایی مذکور دلالت بر ثبات و استقلال نسبی الگوریتم پیشنهادی نسبت به پارامترهای مختلف ابتدایی دارد و بیان کر آن است که ماهیت جستجوی فضای طراحی براساس الگوریتم پیشنهادی به صورت تصادفی نیست. جدول ۴، نتایج طرح بهینه‌ی حاصل را براساس الگوریتم پیشنهادی در قیاس با دیگر مراجع نشان می‌دهد. در جدول مذکور، نتیجه‌ی بهترین اجرا به همراه میانگین نتیجه‌ی نهایی ۴۰ اجرای مستقل برای الگوریتم پیشنهادی ارائه شده است. همان‌طور که مشاهده می‌شود، این دو مقدار به یکدیگر بسیار نزدیک هستند. بنابراین می‌توان با یک بار اجرای الگوریتم پیشنهادی به طرح نسبتاً بهینه و مناسبی دست یافت. از سوی دیگر، برای مثال کنونی نیز بهترین طرح به ازاء بهترین اجرا در تکرار ۲۷۶ حاصل شده است، که با توجه به وجود ۲۰ آنالیز در هر تکرار تعداد کل آنالیزها در بهترین حالت جهت دست‌یابی به طرح بهینه برای ۵۵۰ بوده است. ۳.۲. قاب ۸ طبقه و ۱ دهانه در مثال حاضر به بررسی قابی با ۸ طبقه و ۱ دهانه به شرح شکل ۶ پرداخته شده است. برای کلیه‌ی اعضاء قاب، E و ρ به ترتیب برابر 200 GPa و $76,8 \text{ kN/m}^3$ بوده

جدول ۵. فهرست مقاطع برای قاب ۸ طبقه، ۱ دهانه.^[۳۰]

شماره‌ی مقطع	نام مقطع	$A - cm^3$	$I_x - cm^4$	$S_x - cm^3$	$I_y - cm^4$	$S_y - cm^3$
۱	$W44 \times 235$	۶۳۴,۱۹۲۳	۱۲۹۴۴۷۹,۷۳۴	۲۳۱۰۵,۷۶	۲۹۹۴۷,۷۷۱	۲۴۵۸,۰۵۹
۲	$W44 \times 290$	۵۵۳,۵۴۷۳	۱۱۲۷۹۸۷,۱۶۳	۲۰۳۱۹,۹۵۹	۴۳۷۰۴,۲۹۹	۲۱۷۹,۴۷۹
⋮	⋮	⋮	⋮	⋮	⋮	⋮
۲۶۷	$W5 \times 16$	۳۰,۱۹۳۴	۸۸۶,۵۷۳	۱۳۹,۴۵۴	۳۱۲,۵۸۹	۲۰,۸۱۱
۲۶۸	$W4 \times 13$	۲۴,۷۰۹۶	۴۷۰,۳۴۱	۸۹,۴۷۳	۱۶۰,۶۶۵	۱۶,۳۸۷



شکل ۷. سیر فرایند بهینه‌یابی برای قاب ۸ طبقه، ۱ دهانه.



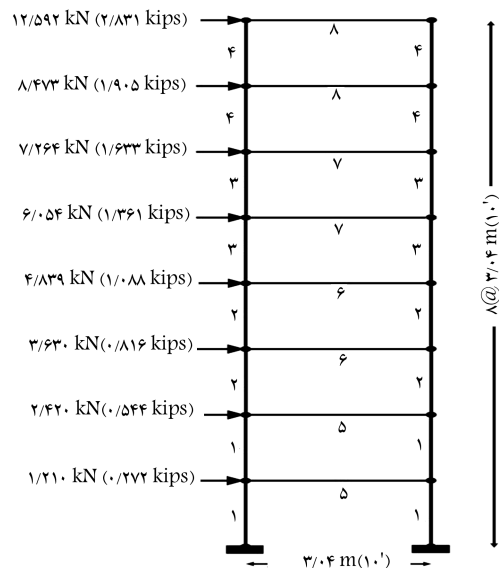
شکل ۸. قاب ۵ طبقه، ۲ دهانه.

دهانه در نظر گرفته شده است. بارهای مرده (DL), زنده (LL) و بار باد (WL) در ۳ حالت به شرح این ترکیب‌ها به سازه اعمال شده است (مقادیر و جهت بارهای مذکور در جدول ۷ تعریف شده است).

$$i) DL + ۰,۹(LL + WL) \quad ii) DL + WL \quad iii) DL + LL$$

برای کلیه‌ی اعضاء سازه، E و ρ به ترتیب برابر 20.5 GPa و 20.5 kg/m^3 در نظر گرفته شده است.

در نظر گرفته شده است. مقدار تنش مجاز برای کلیه‌ی اعضاء سازه براساس فرض



شکل ۸. قاب ۸ طبقه، ۱ دهانه.

سیر هم‌گرایی بدترین و بهترین اجرا و نیز میانگین بسیار به یکدیگر نزدیک هستند. این مهم در مثال حاضر نیز بیانگر ثبات و پایداری الگوریتم در نیل به نقطه‌ی کمینه و نیز عدم تصادفی بودن فرایند جستجو است. نزدیکی نمودارهای شکل ۷ در مثال حاضر، اهمیت ویژگی دارد. چرا که سازه‌ی حاضر براساس تعداد اعضاء فهرست مقاطع، فضای طراحی بزرگی دارد. بنابراین می‌توان نتیجه گرفت که الگوریتم پیشنهادی در مثال‌هایی با فضای طراحی بزرگ نیز موفق است و توانایی جستجوی فضای طراحی را به شیوه‌ی کارآمد دارد و با یک بار اجرای فرایند بهینه‌یابی می‌توان به طرحی قبل قبول و مناسب دست یافته. از سوی دیگر، با توجه به آنکه برای هر مرحله از روش پیشنهادی ۲۰ نقطه فرض شده و الگوریتم در بهترین اجرا در تکرار ۹۸۹ به طرح بهینه دست یافته است، تعداد کل آنالیزها در بهترین اجرا برابر ۹۷۸۹ بوده است.

جدول ۶، نتیجه‌ی طرح بهینه براساس الگوریتم پیشنهادی را در قیاس با دیگر مراجع نشان می‌دهد. در مثال حاضر نیز علی‌رغم بزرگی فضای طراحی، اختلاف مقدار میانگین 40% اجرا و بهترین نتیجه در بین اجراهای متوالی انکه و برابر $4,6\%$ بوده است. این مقدار با توجه به فضای طراحی، مقداری قابل قبول است و می‌توان به الگوریتم پیشنهادی در بهینه‌یابی سازه‌های مختلف با فضای طراحی بزرگ اعتماد کرد.

۴.۳. قاب ۵ طبقه، ۲ دهانه

در مثال حاضر جهت ارزیابی الگوریتم پیشنهادی (شکل ۸)، قابی با ۵ طبقه و ۲

جدول ۶. نتایج طرح بهینه برای سطح مقطع اعضاء قاب ۸ طبقه، ۱ دهانه.

نوتشار حاضر	[۲۵]	[۲۶]	[۲۷]	[۲۸]	[۲۹]	شماره‌ی مقطع
W۱۸×۴۰	W۱۸×۳۵	W۲۱×۴۴	W۱۸×۳۵	W۲۱×۵۰	W۱۸×۴۶	۱
W۱۸×۳۵	W۱۸×۳۱	W۱۸×۳۵	W۱۸×۳۵	W۱۶×۲۶	W۱۶×۳۱	۲
W۱۴×۲۲	W۱۶×۲۶	W۱۸×۳۵	W۱۴×۲۲	W۱۶×۲۶	W۱۶×۲۶	۳
W۱۲×۱۶	W۱۴×۲۲	W۱۲×۲۲	W۱۲×۱۶	W۱۲×۱۶	W۱۲×۱۶	۴
W۱۸×۳۵	W۱۶×۳۱	W۱۸×۴۰	W۱۶×۳۱	W۱۶×۲۶	W۱۸×۳۵	۵
W۱۸×۳۵	W۱۸×۴۰	W۱۶×۲۶	W۲۱×۴۴	W۱۸×۴۰	W۱۸×۳۵	۶
W۱۶×۲۶	W۱۶×۲۶	W۱۸×۳۵	W۱۸×۳۵	W۱۸×۳۵	W۱۸×۳۵	۷
W۱۶×۲۶	W۱۴×۲۲	W۱۲×۱۶	W۱۶×۲۶	W۱۴×۲۲	W۱۶×۲۶	۸
۳۰,۸۹	۳۰,۹۱	۳۱,۰۵	۳۱,۲۴۳	۳۱,۶۸	۳۲,۸۳	وزن (kN)
۲۲,۳۴	-	-	-	-	-	میانگین

جدول ۷. فهرست مقطع‌های قاب ۲ دهانه، ۵ طبقه.

S _x	I _x	S _y	I _y	A	شماره‌ی مقطع
۲۱۱,۷	۱۴۳۹	۲۸۲,۸۳	۲۵۴۵,۵	۵۱,۳۸	۱
۲۵۶,۴	۱۸۷۲	۳۵۶,۰۸	۳۵۶۰,۸	۵۷,۶۶	۲
۳۰۰,۳	۲۳۱۳	۴۳۵,۲۵	۴۷۸۷,۷	۶۳,۶۷	۳
۳۳۹,۴	۲۶۴۷	۵۳۷,۴۶	۶۷۱۰,۲	۶۹,۸۱	۴
۴۰۸,۹	۳۲۷۲	۵۷۹,۱۳	۷۲۳۹,۱	۷۹,۸۱	۵
۴۱۷,۱	۳۴۲۰	۶۷۸,۱۳	۹۵۰۵,۱	۸۰,۰۴	۶
۴۹۹,۱	۴۱۹۲	۷۳۱,۲۰	۱۰۲۳۶,۸	۹۱,۲۴	۷
۵۴۴۴	۴۷۵۷	۹۳۸,۸۳	۱۵۰۲۱,۳	۹۷,۰۰	۸
۶۴۴,۵	۵۸۰۱	۱۰۰۷,۱	۱۶۱۱۳,۵	۱۰۹,۸	۹
۷۴۴,۵	۷۱۴۷	۱۳۱۹,۳۵	۲۲۷۴۸,۲	۱۲۱,۷۸	۱۰
۸۶۷,۸	۸۵۰۲	۱۴۰۵,۷۵	۲۵۳۰۳,۴	۱۳۶,۱۸	۱۱
۹۶۴,۶	۹۶۴۶	۱۷۵۷,۷۷	۳۵۱۵۵,۴	۱۵۰,۰۹	۱۲
۱۱۰۵,۷	۱۱۲۷۸	۱۸۶۴,۴۴	۳۷۲۸۸,۷	۱۶۶,۰۹	۱۳
۱۲۴۷,۶۲	۱۲۹۷۵	۱۹۷۱,۱۰	۳۹۴۲۲,۱	۱۸۲,۰۹	۱۴

جدول ۸. بارهای اعمالی به قاب ۲ دهانه، ۵ طبقه.

موقعیت بار	نوع بار	بزرگی بار	موقعیت بار
۲۵ اعضاء ۱۶, ۱۷, ..., ۲۴ و ۲۵	w _y = -۱۱,۷۶ kN/m		
گره‌های ۱ و ۲	P _y = ۱۹,۶ kN/m	بار مرده	
گره‌های ۴, ۹, ۷, ۶, ۱۰, ۱۲, ۱۳ و ۱۵	P _y = -۴۰/۲ kN/m		
اعضاء ۱۶, ۱۷, ..., ۲۵	w _y = -۱۰,۷۸ kN/m	بار زنده	
گره‌ی ۱	P _x = ۵,۶۸۴ kN/m		
گره‌ی ۴	P _x = ۷,۲۵۲ kN/m		
گره‌ی ۷	P _x = ۶,۶۶۴ kN/m	بار باد	
گره‌ی ۱۰	P _x = ۵,۹۷۸ kN/m		
گره‌ی ۱۳	P _x = ۶,۲۷۲ kN/m		

صورت پذیرفته در برخی پژوهش‌ها، [۴۷,۴۸] $\pm 166 \text{ MPa}$ برابر با تغییر مکان مجاز برای گره‌های آخرین طبقه برابر $1,550$ ارتفاع قاب در نظر گرفته شده است. فرض شده است در فرایند طراحی، ستون‌های هر طبقه سطح مقطع یکسانی داشته باشند. از سوی دیگر، کلیه تیرهای سازه مستقل طراحی شده‌اند. بنابراین در مجموع ۱۵ متغیر طراحی برای مسئله بهینه‌یابی پذید آمده است که از فهرست مقطع موجود در جدول ۸ انتخاب شده‌اند. نتیجه‌ی فرایند بهینه‌یابی براساس الگوریتم پیشنهادی، به صورت شکل ۹ است که در آن نمودار میانگین 40 اجرای مستقل و متوالی عملیات بهینه‌یابی براساس الگوریتم پیشنهادی (میانگین) به ازاء مقادیر مختلف برای پارامترهای اولیه، به همراه بدترین روند (بدترین اجرا) و بهترین روند (بهترین اجرا) برای فرایند بهینه‌یابی در اجراهای متوالی رسم شده است. همان‌طور که در مثال حاضر نیز مشاهده می‌شود، نمودار بدترین و بهترین حالت و میانگین اجراهای متوالی به یکدیگر نزدیک هستند. این مهم بیانگر عدم تصادفی بودن فرایند بهینه‌یابی براساس

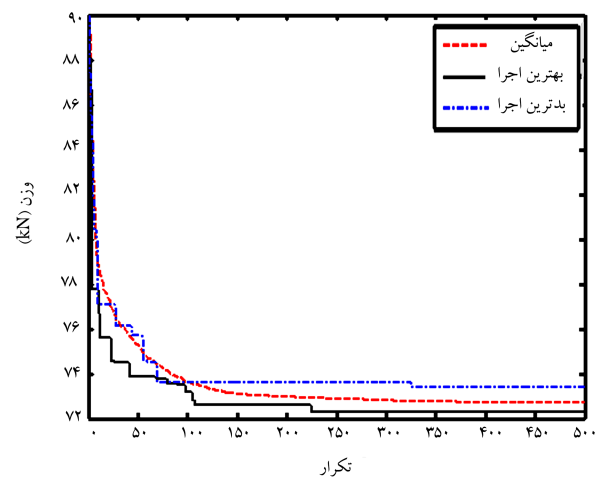
اندک است و میزان این اختلاف برابر ۵٪ است. در مثال حاضر، بهترین طرح در بهترین اجرا در تکرار ۱۰۵ حاصل شده است که با توجه به انجام ۲۰ آنالیز در هر تکرار، تعداد کل آنالیزها در بهترین اجرا برابر ۲۱۰۰ آنالیز است.

۴. نتیجه‌گیری

در نوشتار حاضر، الگوریتم ترکیبی جدیدی بر پایهٔ مفاهیم الگوریتم PSO، HS و CSS برای بهینه‌یابی سازه‌ها ارائه شده است. در روش ترکیبی پیشنهادی، فضای کاوش توسعه یک سری نقاط متحرک و فعل جستجو می‌شوند. در روش مذکور هر طرح بیانگر نقطه‌یی متحرک و فعل در فضای کاوش و مجموعهٔ نقاط بیانگر یک جمعیت هستند. نقاط با حرکت و جابه‌جایی در فضای کاوش، سبب ایجاد فرایند تکاملی برای جمعیت‌های پر دربی می‌شوند و به سوی نقطه‌یی بهینه حرکت می‌کنند. برای این منظور نقاط هر جمعیت با حرکت در فضای طراحی به سوی مرکز کلیهٔ نقاط، مرکز نقاط منتخب و نیز موقعیت نقاط منتخب جمعیت حاضر، جمعیت جدید را تشکیل می‌دهند. در این راستا میانگین میزان کیفیت نقاط جمعیت حاضر و میانگین مقدار کیفیت مجموعهٔ نقاط منتخب و نیز میزان کیفیت هر یک از نقاط منتخب در میزان جابه‌جایی نقاط متحرک مؤثر هستند. از دیگر عوامل مؤثر در موقعیت نهایی نقاط هر جمعیت، میزان تغییرات حرکت پیشین هر نقطه است که به صورت عاملی مستقل در جابه‌جایی نقاط در نظر گرفته می‌شود.

از سوی دیگر، در روش پیشنهادی ضرایب هر یک از عوامل مؤثر در جابه‌جایی نقاط متحرک با بررسی و ارزیابی، به صورت پویا و فعل در سیر فرایند بهینه‌یابی تغییر کرده و بدین ترتیب شیوهٔ جستجو مبتنی بر اصول تنوع و تشید برای کسب طرح بهینه شکل گرفته است. بنابراین در ابتدای فرایند بهینه‌یابی، مفاهیم اصل تنوع بر شیوهٔ جستجو حاکم است و طرح‌های متنوعی در موقعیت‌های مختلف فضای طراحی پدید می‌آید. این روند به آهستگی تا پایان فرایند بهینه‌یابی تغییر می‌کند و در تکرارهای پیاپی، مفاهیم تشید جایگزین اصول تنوع می‌شود. بدین ترتیب روش پیشنهادی در انتهای فرایند بهینه‌یابی همسایگی طرح‌های مستعد حاصل از تکرارهای ابتدایی را جستجو می‌کند. این توازن بین مفاهیم اصول تنوع و تشید، کارآمدی الگوریتم پیشنهادی را در جستجوی فضاهای طراحی گوناگون افزایش داده است.

در نوشتار حاضر، کارآیی الگوریتم ترکیبی پیشنهادی توسط مثال‌های مختلف سازه‌های اسکلتی ارزیابی شده است. برای این منظور در هر مثال، فرایند بهینه‌یابی ۴۰ بار به ازاء مقادیر مختلف برای پارامترهای اولیه اجرا و سپس میانگین سیر هم‌گرایی ۴۰ اجرا با بهترین سیر هم‌گرایی مقایسه شده است. از سوی دیگر، مقادیر بهترین طرح بهینه با مقدار میانگین ۴۰ اجرا فرایند بهینه‌یابی نیز مقایسه شده است. نتایج دلالت بر آن دارد که سیر هم‌گرایی بهترین اجرا و میانگین اجراهای مختلف برای مثال‌های مختلف، به یکدیگر نزدیک است و مقادیر بهترین طرح بهینه نیز اختلاف اندکی با مقدار میانگین ۴۰ اجرا دارد. بر این اساس عملکرد الگوریتم ترکیبی پیشنهادی به نحوی است که فقط ماهیتی تصادفی ندارد و براساس نقاط متحرک و فعل، فضای طراحی را به طور هشمندی کاوش می‌کند. از سوی دیگر، الگوریتم حاضر می‌تواند مستقل از اجراهای مختلف برای کسب جواب قابل قبول باشد و با یک بار اجرا می‌تواند نتایج قابل قبولی ارائه دهد.



شکل ۹. سیر هم‌گرایی فرایند بهینه‌یابی برای قاب ۵ طبقه، ۲ دهانه.

جدول ۹. نتایج طرح بهینه‌ی سطح مقطع قاب ۲ دهانه، ۵ طبقه.

نوبتار حاضر	[۲۰]	[۳۷]	[۳۶]	شماره‌ی اعضا
	۸۰,۰۴	۸۰,۰۴	۸۰,۰۴	۱_۳
۶۹,۸۱	۶۹,۸۱	۶۹,۸۱	۴_۶	
۶۹,۸۱	۶۹,۸۱	۶۹,۸۱	۷_۹	
۵۷,۶۶	۶۹,۸۱	۶۳,۶۷	۱۰_۱۲	
۵۱,۳۸	۵۱,۳۸	۶۳,۶۷	۱۲_۱۵	
۸۰,۰۴	۸۰,۰۴	۹۷	۱۶	
۹۷	۹۷	۶۹,۸۱	۱۷	
۸۰,۰۴	۸۰,۰۴	۸۰,۰۴	۱۸	
۸۰,۰۴	۶۹,۸۱	۶۹,۸۱	۱۹	
۸۰,۰۴	۸۰,۰۴	۸۰,۰۴	۲۰	
۶۹,۸۱	۵۷,۶۶	۶۹,۸۱	۲۱	
۸۰,۰۴	۸۰,۰۴	۸۰,۰۴	۲۲	
۵۷,۶۶	۵۷,۶۶	۶۹,۸۱	۲۳	
۸۰,۰۴	۸۰,۰۴	۸۰,۰۴	۲۴	
۶۹,۸۱	۶۹,۸۱	۶۳,۶۷	۲۵	
۷۲,۲۹۲	۷۲,۵۹۶	۷۳,۲۷	۷۴,۶۰	
۷۲,۷۰۱	-	-	میانگین	
			(kN)	

الگوریتم پیشنهادی است و ثبات و پایداری الگوریتم را در اجراهای مختلف نشان می‌دهد.

جدول ۹، بهترین طرح حاصل براساس الگوریتم پیشنهادی را در قیاس با دیگر مراجع نشان می‌دهد. در جدول مذکور نیز همانند مثال‌های پیشین، مقایسه‌یی بین مقادیر وزن بهترین اجرا و میانگین ۴۰ اجرا انجام شده است. همان‌طور که مشاهده می‌شود، اختلاف میانگین مقادیر و بهترین طرح براساس الگوریتم پیشنهادی بسیار

پانوشت‌ها

1. particle swarm optimization (PSO)
2. colliding bodies optimization (CBO)
3. ant lion optimization (ALO)
4. genetic algorithm
5. harmony Search
6. charged system search (CSS)
7. tabu Search
8. ant colony optimization (ACO)
9. simulated annealing

منابع (References)

1. Dreo, J., Petrowski, A., Siarry, P. and Taillard, E. "Metaheuristics for hard optimization", Springer-Verlag, Berlin, Heidelberg (2006).
2. Fogel, L.J., Qwens, A.J. and Walsh, M.J., *Artificial Intelligence through Simulated Evolution*, John Wiley & Sons, Chichester, UK (1966).
3. Holland, J.H., *Adaptation in Natural and Artificial System*, University of Michigan Press, Ann Arbor, MI (1975).
4. Goldberg, D.E., *Genetic Algorithm in Search Optimization and Machine Learning*, Addison-Wesley, Boston (1989).
5. Metropolis, A.W., Rosenbluth, M.N., Rosenbluth, A.H. and Teller, E. "Equation of state calculations by fast computing machines", *J. Chem. Phys.*, **21**(6), pp. 1087-1092 (1953).
6. Kirkpatrick, S., Gerlatt, C.D. and Vecchi, M.P. "Optimization by simulated annealing", *Science*, **220**(4598), pp. 671-680 (1983).
7. Glover, F. "Future paths for integer programming and links to artificial intelligence", *Computer and Operations Research*, **13**(5), pp. 533-549 (1986).
8. Colomi, A., Dorigo, M. and Maniezzo, V. "Distributed optimization by ant colony", *Proc. 1nd European Conf. Artificial life*, USA, pp. 134-142 (1991).
9. Kennedy, J. and Eberhart, R. "Particle swarm optimization", *Proc. IEEE, Int. Conf. Neural Networks*, 4, pp. 1942-1948 (1995).
10. Geem, Z.W., Kim, J.H. and Loganathm, G.V. "A new heuristic optimization algorithm: Harmony search, simulation", *Society of Computer Simulation*, **76**(2), pp. 60-68 (2001).
11. Erol, O.K. and Eksin, I. "New optimization method: Big bang-big Crunch", *Adv. Eng. Softw.*, **37**(2), pp. 106-111 (2006).
12. Rashedi, E., Nezamabadipour, H. and Saryazdi, S. "GSA: A gravitational search algorithm", *Inform. Sciences*, **179**(13), pp. 2232-2248 (2009).
13. Kaveh, A. and Talatahari, S. "A noval heuristic optimization method charged system search", *Acta. Mech.*, **213**(3-4), pp. 267-289 (2010).
14. Kaveh, A. and Khayatazad, M. "A new meta-heuristic method: Ray optimization", *Comput. Struc.*, **112-113**, pp. 283-294 (Dec., 2012).
15. Kaveh, A. and Mahdavi, V.R. "Colliding bodies optimization: A novel meta-heuristic method", *Comput. Struc.*, **139**(15), pp. 18-27 (2014).
16. Mirjalili, S. "The ant lion optimizer", *Adv. Eng. Softw.*, **83**, pp. 80-98 (May, 2015).
17. Kalatjari, V.R. and Talebpour, M.H. "Sizing and topology optimization of truss structures by modified multi-search method", *J. Civil Surveying Eng.*, **45**(3), pp. 351-363 (2011).
18. Kaveh, A., Kalatjari, V.R., Talebpour, M.H. and Torkamanzadeh, J. "Configuration optimization of trusses using a multi heuristic based search method", *Int. J. Optim. Civil Eng.*, **3**(1), pp. 151-178 (2013).
19. Kaveh, A., Kalatjari, V.R. and Talebpour, M.H. "Optimal design of steel towers using a multi-methuristic based search method", *Period. Polytech. Civil Eng.*, **60**(2), pp. 151-178 (2016).
20. Talebpour, M.H., Kaveh, A. and Kalatjari, V.R. "Optimization of skeletal structures using a hybridized ACO, HS and GA algorithm", *Iran. J. Sci. Technol.*, **38**(C1), pp. 1-20 (2013).
21. Yang, X.S., *Nature Inspired Metaheuristic Algorithm*, 2nd Edition, Luniver Press, UK (2008).
22. Haftka, R.T. and Gurdal, Z., *Elements of Structural Optimization*, 3rd Edition, Kluwer Academic Publishers, Boston, MA (1992).
23. Lee, K.S., Geem, Z.W., Lee, S.H. and Bae, K.W. "The harmony search heuristic algorithm for discrete structural optimization", *Eng. Optimiz.*, **37**(7), pp. 663-684 (2005).
24. Li, L.J., Huang, Z.B. and Liu, F. "A heuristic particle swarm optimization method for truss structures with discrete variables", *Comput. Struc.*, **87**(7-8), pp. 435-443 (2009).
25. Kaveh, A. and Talatahari, S. "Particle swarm ant colony optimization for truss structures with discrete variables", *J. Constr. Steel Res.*, **65**(8-9), pp. 1558-1568 (2009).
26. Capriles, V.S.Z., Fonseca, L.G., Barbosa, H.J.C. and Lemonge, A.C.C. "Rank-based ant colony algorithms for truss weight minimization with discrete variables", *Commun. Numer. Meth. Eng.*, **23**(6), pp. 553-575 (2007).
27. Kaveh, A. and Talatahari, S. "A charged system search with a fly to boundary method for discrete optimization design of truss structures", *Asian J. Civil Eng.*, **11**(3), pp. 277-293 (2010).
28. Kaveh, A. and Bakhshpoori, T. "Optimum design of skeletal structures using imperialist competitive algorithm", *Comput. Struc.*, **88**(1-2), pp. 1220-1229 (2010).
29. Kaveh, A. and Bakhshpoori, T. "Optimum design of space trusses using cuckoo search algorithm with levy flights", *Iran. J. Sci. Technol.*, **37**(C1), pp. 1-15 (2013).
30. AISC., *Manual of Steel Construction - Load & Resistance Factor Design*, 2th Edition, American Institute of Steel Construction, Inc. (1994).
31. Camp, C.V., Pezeshk, S. and Cao, G. "Optimized design of two dimensional structures using a genetic algorithm", *J. Struct. Eng. ASCE*, **124**(5), pp. 551-559 (1998).

32. Kaveh, A. and Shojaee, S. "Optimal design of skeletal structures using ant colony optimization", *Int. J. Numer. Meth. Eng.*, **70**(5), pp. 563-581 (2007).
33. Kaveh, A. and Malakoutirad, S. "Hybrid genetic algorithm and particle swarm optimization for the force method-based simultaneous analysis and design", *Iran. J. Sci. Technol.*, **34**(B1), pp. 15-34 (2010).
34. Kaveh, A. and Talatahari, S. "An improved ant colony optimization for the design of planar steel design frames", *Eng. Struct.*, **32**(3), pp. 864-873 (2010).
35. Kaveh, A. and Talatahari, S. "A discrete particle swarm ant colony optimization for design of steel frames", *Asian J. Civil Eng.*, **9**(6), pp. 563-575 (2007).
36. Chai, S. and Sun, H.G. "A relative difference quotient algorithm for discrete optimization", *Struct. Optim.*, **12**(1), pp. 46-56 (1996).
37. Juang, D.S. and Chang, W.T. "A revised discrete lagrangian-based search algorithm for the optimal design of skeletal structures using available section", *Struct. Multidiscip. Optim.*, **31**(3), pp. 301-210 (2006).